

无向实权图上单源最短路径的随机算法

段然^{*1}, 毛佳怡^{†1}, 舒鑫凯^{‡2}, 尹龙辉^{§1}

¹清华大学跨学科信息科学研究所²香港大学

2023年7月11日

摘要

在具有真实非负权的无向图中, 我们给出了一种新的随机 $\sqrt{}$ 算法, 用于比较加法模型中运行时间为 $O(m \log n \cdot \log \log n)$ 的单源最短路径 (SSSP) 问题。这是第一个利用斐波那奇堆的 Dijkstra 算法打破实加权稀疏图的 $O(m + n \log n)$ 时间界限的算法。以往的无向非负 SSSP 算法在比较加法模型中给出的时间界为 $O(m\alpha(m, n) + \min\{n \log n, n \log \log r\})$, 其中 α 为逆 ackermann 函数, r 为最大与最小边权之比 [Pettie & Ramachandran 2005], RAM 模型中整数边权的线性时间 [Thorup 1999]。请注意, 对于无向实数加权 SSSP [Pettie & Ramachandran 2005] 的基于层次的算法, 有一个建议的复杂度下界 $\Omega(m + \min\{n \log n, n \log \log r\})$, 但我们的算法不符合该下界所需的性质。作为一种非基于层次的方法, 我们的算法以更简单的结构显示出了巨大的优势, 并且更容易实现。

^{*}duanran@mails.tsinghua.edu.cn [†]mjy22@mails.tsinghua.edu.cn [‡]xkshu@cs.hku.hk

[§]ylh21@mails.tsinghua.edu.cn

1 介绍

最短路径是图论中最基本的问题之一，其算法位于图算法研究的核心。在一个图 $G = (V, E, w)$ ， $m = |E|$ ， $n = |V|$ ，非负边权 $w: E \rightarrow \mathbb{R}_{\geq 0}$ 中，单源最短路径 (SSSP) 问题要求给定源 $s \in V$ 到所有其他顶点的距离。Dijkstra 算法 [8] 通过动态规划计算距离 $\text{dist}(s, u)$ 。对于每个顶点 u ，它维护一个时间距离 $d(u)$ ，它代表从 s 到 u 的最短路径，只经过当前 S 中的顶点，其中 S 是算法过程中访问过的顶点集合。在每一轮迭代中，它从未访问的节点中选择 $d(u)$ 最小的顶点 u 。最后，当 $S = V$ ， $d(u) = \text{dist}(s, u)$ 对于所有顶点 u 。高级数据结构称为斐波那奇堆 [14] 和松弛堆 [10]，它们的插入和减键时间平摊为 $O(1)$ ，提取最小值时间平摊为 $O(\log n)$ ，使得 Dijkstra 算法的时间界限为 $O(m + n \log n)$ 。这个时间界限属于比较-加法模型，只允许对边权进行比较和加法操作，并将其视为单位时间操作。这是实数输入中最常见的模型。对于无向图，Pettie 和 Ramachandran [25] 在比较加法模型中提出了运行时间为 $O(m\alpha(m, n) + \min\{n \log n, n \log \log r\})$ 的 SSSP 算法，其中 α 为逆 ackermann 函数， r 为任意两个边权的比值。然而，对于无向图和有向图，没有发现比 $O(m + n \log n)$ 更快的 SSSP 算法。

Dijkstra 算法的一个副产品是根据到 s 的距离对所有顶点进行排序，但是 $\Omega(n \log n)$ 的下界是基于比较的排序算法。研究人员曾经认为，很多图问题都存在这种排序瓶颈，打破这个瓶颈是一个重要而有趣的方向。Yao [7] 给出了一个最小 spanning $\sqrt{} tree$ (MST) 算法，其运行时间为 $O(m \log \log n)$ ，引用了 Tarjan 未发表的结果 $O(m \log n)$ 。目前 MST 的最佳结果是随机线性时间算法 [22]，确定性 $O(m\alpha(m, n))$ 时间算法 [4]，以及已证明具有最优 (但未知) 复杂度的确定性算法 [24]。在瓶颈路径问题中，我们希望找到最大化其上两个顶点之间的最小最大边权重的路径。Gabow 和 Tarjan [18] 给出了一个 $O(m \log^* n)$ 时间算法来解决有向图中 s - t 瓶颈路径问题，后来改进为随机化 $O(m\beta(m, n))$ 时间算法 [5]。对于有向图中的单源 $\sqrt{} 全目标$ 瓶颈路径问题，段然等人最近有了 $O(m \log n)$ 时间随机化算法的结果 [11]。对于单源非递减路径问题，Virginia V. Williams [34] 提出了一个时间约束为 $O(m \log \log n)$ 的算法。虽然以上结果都是基于比较的，但这些工作中的技术，如局部构造或分治方法，很难适用于最短路径问题。因此，如何打破 SSSP 的排序瓶颈是一个问题。

1.1 我们的结果

在本文中，我们提出了第一个针对无向实加权图的 SSSP 算法，打破了排序瓶颈。

定理 1。对于边权为 $w: E \rightarrow \mathbb{R}_{\geq 0}$ 的无向图 $G = (V, E, w)$ ，存在一种 comparison-addition $\sqrt{} based$ Las-Vegas 随机化算法，该算法在 $O(m \log n \cdot \log \log n)$ 时间内解决单源最短路径问题，其结果总是正确的，并且可以高概率地达到这个时间限制。当 $m = \omega(n)$ 、 $m = O(n \log n)$ 时，时间复杂度可以提高到 $O(m \log n \cdot \log \log n)$ 。

注意，在 [25] for 中存在一个 (最坏情况下的) 下界 $\Omega(m + \min\{n \log n, n \log \log r\})$

“基于层次”的无向实加权SSSP算法，但我们的算法是随机的，而不是基于层次的。讨论见备注2。

技术概述。基于dijkstra算法的瓶颈是优先级队列。为此，我们只在优先队列中添加了一小部分顶点。就像许多关于距离预言器或扳手的工作一样，我们对顶点 R 的子集进行采样，堆只针对 R 中的顶点，然后将其他每个顶点 v “打包”到它在 R 中最近的顶点，称为 $b(v)$ 。然后将 $Ball(v)$ 定义为比 $b(v)$ 更接近 v 的顶点的集合。由于该算法不知道最短路径上大多数顶点的正确顺序，因此像Dijkstra算法那样只放松邻居是行不通的。因此，当从堆中弹出一个顶点 $u \in R$ 时，我们也处理捆绑到 u 的顶点 v 。在无向图中，这也意味着 $|\text{dist}(s, u) - \text{dist}(s, v)|$ 并不大。这里我们从 $Ball(v)$ 中的顶点和它们的邻居放松 v ，然后从 v 中我们放松 v 和它们球中的顶点的邻居。(为了便于描述，我们首先将图更改为具有 $O(m)$ 个顶点的常数度图。)算法的细节将在第3节讨论，以及正确性和运行时间的分析。为了使算法能够达到时间限制 $w.h.p$, bundle的详细构造将在第4节中介绍。通过放松常数度约束来提高时间复杂度的问题将在第5节讨论。

1.2 其他相关工作

对于实权SSSP算法，是否存在优于 $O(m + n \log n)$ 的算法早已被公开。Pettie和Ramachandran的算法[25]在最大和最小边权之比不是很大的情况下优于 $O(n \log n)$ 。对于整数加权的情况，通常采用随机存取机(random access machine, RAM)模型，允许对边权进行乘法、移位和布尔运算。在整数权值RAM模型上改进堆和SSSP算法的工作有很多[16,17,19,26,27,29,30]。最后Thorup给出了无向图[28]的线性时间算法和有向图[31]的 $O(m + n \log \log \min\{n, C\})$ ，其中 C 是最大边权重。最近，对于负权重的SSSP，也发现了几乎线性时间为 $O(m + O(1) \log C)$ 的算法[2,6]。

全对最短路径(all -pair shortest path, APSP)问题要求图 g 中每对顶点 u, v 之间的最短路径。我们可以对所有顶点运行Dijkstra算法[8]，运行时间为 $O(mn + n^2 \log n)$ ，也可以使用Floyd-Warshall算法[12,32]，运行时间为 $O(n^3)$ 。从那时起，研究人员进行了许多改进[3,9,15,20,35]，但对于实加权图，甚至 $[0, n]$ 中的graphs with 整数权值，对于某些常数 $\omega > 0$ APSP算法仍然没有真正的亚立方时间($O(n^{3-\omega})$)。Williams[33]给出了一种实数加权图的APSP算法，运行时间为 $n^3/2^{O(\log n)}$ 。对于无向实权图，Pettie和Ramachandran的APSP算法[25]的运行时间为 $O(mn \log \alpha(m, n))$ ，对于有向实权图，Pettie[23]给出了 $O(mn + n^2 \log \log n)$ 时间的APSP算法。

2 预赛

本文研究了一个无向图 $G = (V, E, w)$ ，其顶点集 V ，边集 $E \neq \emptyset$ ，非负权函数 $w: E \rightarrow \mathbb{R}_{\geq 0}$ ，记为 w_{uv} 。在一个无向图中 $w_{uv} = w_{vu}$ 对所有边 $(u, v) \in E$ 成立。我们用 $n = |V|$ ， $m = |E|$ 表示图中顶点和边的数量， $n(u) = \{V: (u, V) \in E\}$ 表示 u 的邻居，对于两个顶点 $u, V \in V$ ， $\text{dist}_G(u, V)$ 是连接 u 和 V 的最短路径的长度，即图 G 中 u 和 V 的距离，背景清楚时可以省略下标 G 。设 s 为源点。

我们算法的目标是为每个 $v \in V$ 找到 $\text{dist}(s, v)$ 。在不失一般性的前提下，我们假设 G 是连通的，因此 $m \geq n-1$ 。

Constant-Degree图。在整篇论文中，我们需要一个常数度的图。为了实现这一点，给定一个图 G ，我们通过一个经典变换构造 G' (见[13]):

- Substitute每个具有 $|N(v)|$ 循环的顶点 v | 顶点 x_{vw} ($w \in N(v)$)与零权边连接，即对于 v 的每个邻居 w ，在这个循环上都有一个顶点 x_{vw} 。
- 对于 G 中的每条边 (u, v) ，在对应的顶点 x_{uv} 和 x_{vu} 之间添加一条权值为 w_{uv} 的无向边。

我们可以看到任意 $u' \in N(u)$ 和 $v' \in N(v)$ 的距离 $\text{dist}_{G'}(x_{uu'}, x_{vv'}) = \text{dist}_G(u, v)$ 。 G' 中的每个顶点的度数最多为3，而 G' 是一个顶点为 $O(m)$ 、边为 $O(m)$ 的图。

Comparison-Addition模型。在本文中，我们的算法在比较-加法模型下工作，在该模型中，实数只受比较和加法操作的影响。在这个模型中，每次加法和比较都需要单位时间，并且不允许对边的权重进行其他计算。

斐波那契堆。在这样的模型下，可以构造一个斐波那契堆 H ，其初始化、插入、减键操作的平摊时间为 $O(1)$ ，每个最小提取操作的平摊时间为 $O(\log |H|)$ [14]。当我们从堆中提取最小元素时，我们也称该元素为从堆中“弹出”。

3 主要算法

在接下来的几节中，我们假设 G 是连通的， G 中的每个顶点的度都不超过3。（ G 中有 $O(m)$ 个顶点和 $O(m)$ 条边，但我们仍然使用 $O(\log n)$ ，它等价于 $O(\log m)$ ，其中 n 是原始图中没有度约束的顶点数量。）

我们的算法是基于原始的Dijkstra算法[8]。由于Dijkstra算法的主要瓶颈是从斐波那契堆中提取每个顶点的时间为 $O(\log n)$ [14]，因此我们只将 R 个顶点的子集插入到堆中。每个剩余的顶点 $v \in V \setminus R$ 被捆绑到它在 R 中最近的顶点上。在整个算法中，只有当某个顶点 $u \in R$ 从堆中弹出时，顶点才会被更新。我们的算法包括两个阶段:bundle构造和bundle Dijkstra，其细节将分别在3.1节和3.2节中介绍。

give To $\sqrt{}$ 演示我们算法的主要思想，在本节中我们首先给出一个算法，其运行时间预期为 $O(m \log n \cdot \log \log n)$ ，但不是“具有高概率”。在第4节中，我们对bundle构建阶段进行了改进，从而得到了一个以高概率运行时间为 $O(m \log n \cdot \log \log n)$ 的算法。这两种算法总是给出正确的答案。

3.1 包施工

bundle construction的简单版本如下1 (k 是后面要确定的参数):

¹One may notice that sampled set, closest sampled vertex and balls are common techniques in papers on shortest path algorithms, distance oracles and spanners, and there are deterministic construction algorithms for such “dominating set” (e.g. [1]), but the extra $O(\log n)$ factor for deterministic approaches introduced on the size of dominating set or construction time is not affordable here.

- 以概率 $1/k$ 独立采样每个顶点 $v \in V \setminus \{s\}$ 形成集合 R ，然后加上 s 在 R 。
- For 每个顶点 $v \in R$ ，运行从 v 开始的 Dijkstra 算法，直到从堆中提取 R 的第一个顶点，记为 $b(v)$ 。因此 $b(v)$ 是 R 中离 v 最近的顶点之一，即 $b(v) \in \arg \min_{u \in R} \text{dist}(u, v)$ ，我们称 v 与 $b(v)$ 捆绑在一起。
- 对于每个 $u \in R$ ，设 $b(u) = u$ ， $\text{Bundle}(u) = \{v: u = b(v)\}$ 是捆绑到 u 的顶点集合。根据定义， $\{\text{Bundle}(u)\}_{u \in R}$ 形成了顶点集合 V 的一个划分。
- 对于每个 $v \in R$ 的顶点 v ，定义 $\text{Ball}(v) = \{w \in V: \text{dist}(v, w) < \text{dist}(v, b(v))\}$ ，即比其捆绑的顶点 $b(v)$ 更接近 v 的顶点集合。在之前的 Dijkstra 算法中，我们可以得到 $\text{Ball}(v)$ 以及对于所有 $w \in \text{Ball}(v) \cup \{b(v)\}$ 的 $\text{dist}(v, w)$ 的值。

Bundle 构建的时间分析。对于每个顶点 $v \in R$ ，在不丧失一般性的前提下，我们假设它的 Dijkstra 算法以确定性的方式打破束缚。因此，从堆中提取的顶点顺序是固定的。

我们可以看到 $E[|R|] = O(m/k)$ 。对于每个顶点 $v \in R$ ，设 S_v 为 Dijkstra 算法停止前提取的顶点集，则 $\text{Ball}(v) \subseteq S_v$ 。根据 R 的定义， $|S_v|$ 遵循几何分布，成功概率 $1/k$ ，因此 $E[|S_v|] = k$ ， $E[|\text{Ball}(v)|] \leq k$ 。根据常数度性质，曾经添加到堆中的顶点数也是 $O(|S_v|)$ ，因此，的总时间

备注1。我们可能会注意到， $x \log x$ 是一个凸函数，因此 $E[|S_v| \log |S_v|] = O(k \log k)$ 并不成立。我们在这里给出一个简单的证明：(通过几何分布 $E[|S_v|^2] = 2k^2 - k$)
束结构的期望值为 $O(\sum_{v \in V} E[|S_v| \log |S_v|]) = O(mk \log k)$ 。

$$\begin{aligned}
E[|S_v| \log |S_v|] &= \sum_{n=1}^{\infty} \frac{1}{k} \left(1 - \frac{1}{k}\right)^{n-1} \cdot n \log n \\
&\leq \sum_{n \leq k^2} \frac{1}{k} \left(1 - \frac{1}{k}\right)^{n-1} \cdot n \log n + \sum_{n > k^2} \frac{1}{k} \left(1 - \frac{1}{k}\right)^{n-1} \cdot n^2 \\
&\leq 2 \log k \sum_{n \leq k^2} \frac{1}{k} \left(1 - \frac{1}{k}\right)^{n-1} \cdot n + \sum_{n=1}^{\infty} \frac{1}{k} \left(1 - \frac{1}{k}\right)^{k^2 + (n-1)} (n + k^2)^2 \\
&\leq 2 \log k \cdot E[|S_v|] + \left(1 - \frac{1}{k}\right)^{k^2} \cdot E[(|S_v| + k^2)^2] \\
&\leq 2k \log k + e^{-k} \cdot O(k^4) = O(k \log k).
\end{aligned}$$

3.2 Bundle Dijkstra

给定集合 R 和 bundle 的划分，主要算法工作如下，伪代码在算法1中给出:

最初我们为所有其他顶点 v 设置 $d(s) = 0$ 和 $d(v) = +\infty$ ，并将 R 的所有顶点插入斐波那契堆[14]中。每当我们从堆中弹出一个顶点 $u \in R$ 时，我们通过以下步骤更新距离。(这里用值 D 来放松顶点 v 意味着我们用 $\min\{D(v), D\}$ 来更新 $D(v)$ 。)

1. 对于捆绑到 u 的每个顶点 v ，我们需要找到 $\text{dist}(s, v)$ 的确切值，首先用 $d(u) + \text{dist}(u, v)$ 放松 v ；然后对于每个顶点 $y \in \text{Ball}(v)$ ，用 $d(y) + \text{dist}(y, v)$ 松弛 v ；并且对于每一个

- $z_2 \in \text{Ball}(v) \cup \{v\}$ 和 $z_1 \in N(z_2)$, 对 v 进行松弛 $d(z_1) + w_{z_1, z_2} + \text{dist}(z_2, v)$, 即我们通过其捆绑的顶点 u 、 $\text{Ball}(v)$ 内的顶点以及 v 和 $\text{Ball}(v)$ 相邻的顶点来更新 $d(v)$ 。
2. 在为每个 $x \in \text{Bundle}(u)$ 更新 $d(x)$ 之后, 我们更新顶点 $y \in N(x)$ 和顶点 $z_1 \in \text{Ball}(y)$ 。即对所有的 $y \in N(x)$, 通过 $d(x) + w_{x,y}$ 来松弛 y , 然后对所有的 $z_1 \in \text{Ball}(y)$, 通过 $d(x) + w_{x,y} + \text{dist}(y, z_1)$ 来松弛 z_1 。
3. 每当我们更新一个顶点 $v \in R$ 时, 我们也通过 $d(v) + \text{dist}(v, b(v))$ 对其捆绑的顶点 $b(v)$ 进行松弛。(但稍后我们会看到, 这只在步骤2中需要, 而不是步骤1, 因为在步骤1中 v 被捆绑到 u , 但当从堆中弹出 u 时, $\text{dist}(s, u)$ 的距离已经找到了。)

从算法中可以很自然地得出以下观察结果。

观察2。 $d(v) \geq \text{dist}(s, v)$ 对所有 $v \in V$ 始终成立。

Algorithm 1: BUNDLEDIJKSTRA(G, s)

Input : A graph $G = (V, E, w)$ and starting vertex $s \in V$
Output: Distance $d(v)$ from s to v for every vertex $v \in V$

- 1 Construct Bundles as described in Section 3.1;
- 2 Set label $d(s) \leftarrow 0$ and $d(v) \leftarrow +\infty$ for all $v \in V \setminus \{s\}$;
- 3 Initialize Fibonacci heap H with all vertices of R and key $d(\cdot)$;
- 4 **while** H is not empty **do**
 - 5 $u \leftarrow H.\text{EXTRACTMIN}()$;
 - 6 **foreach** $v \in \text{Bundle}(u)$ **do** // Step 1
 - 7 RELAX($v, d(u) + \text{dist}(u, v)$);
 - 8 **foreach** $y \in \text{Ball}(v)$ **do**
 - 9 RELAX($v, d(y) + \text{dist}(y, v)$);
 - 10 **foreach** $z_2 \in \text{Ball}(v) \cup \{v\}$ **do**
 - 11 **foreach** $z_1 \in N(z_2)$ **do**
 - 12 RELAX($v, d(z_1) + w_{z_1, z_2} + \text{dist}(z_2, v)$);
 - 13 **foreach** $x \in \text{Bundle}(u)$ **do** // Step 2
 - 14 **foreach** $y \in N(x)$ **do**
 - 15 RELAX($y, d(x) + w_{x,y}$);
 - 16 **foreach** $z_1 \in \text{Ball}(y)$ **do**
 - 17 RELAX($z_1, d(x) + w_{x,y} + \text{dist}(y, z_1)$);

function RELAX(v, D):

- 1 **if** $D < d(v)$ **then**
 - 2 $d(v) \leftarrow D$;
 - 3 **if** $v \in H$ **then**
 - 4 $H.\text{DECREASEKEY}(v, D)$
 - 5 **else if** $v \notin R$ **then**
 - 6 RELAX($b(v), d(v) + \text{dist}(v, b(v))$) // Step 3

束Dijkstra的时间分析。对于Bundle Dijkstra阶段，只有R中的顶点被插入到堆中，因此提取最小操作总共只需要 $O(|R| \log n)$ 时间。由于 $V \setminus R$ 中的每个顶点在步骤1和步骤2中分别只以 V 和 x 的形式出现一次，并且根据常数度性质，每个顶点在步骤2中以顶点 $y \in N(x)$ 的形式出现常数次，因此步骤1中每个 V 的顶点 z_1, z_2 的数量为 $O(|\text{Ball}(V)|)$ ，步骤2中每个 y 的顶点 z_1 的数量为 $O(|\text{Ball}(y)|)$ 。另外需要注意的是，由于 $b(v) \in R$ ，第3步中的递归调用 ofpRelax 只能递归一次。因此Step1、2、3的总时间为 $O(\sum_{v \in V \setminus R} |\text{Ball}(v)|)$ 。因此，束Dijkstra阶段的期望时间为 $E[O(|R| \cdot \log n + \sum_{v \in V \setminus R} |\text{Ball}(v)|)] = O(m \log n + mk)$ 。

现在，我们可以看到，两个qstage的期望总时间为 $O(mk \log n + mk \log k)$ ，如果我们选择 $k = \log \log n$ ，则期望总时间最小化为 $O(m \sqrt{\log n} \cdot \log \log n)$ 。接下来，我们来解释一下我们关于正确性证明的主要思想。3.3节给出了形式化证明。

主要的想法。以下命题在算法中成立。(这里 u 的迭代指的是 $\text{pop } u \in R$ 时执行的迭代;发现了一个真实距离 $\text{dist}(s, v)$ 意味着 $d(v) = \text{dist}(s, v)$ 已经成立。)

命题3。当从堆中弹出 $u \in R$ 时，其距离 $\text{dist}(s, u)$ 已经被找到。

命题4。在 u 的迭代步骤1之后，找到了所有 $v \in \text{Bundle}(u)$ 的 $\text{dist}(s, v)$ 。

下面的引理包含了算法的主要思想。

引理5。对于任意顶点 $u \in R$ ，任意从 s 到 u 的路径 P ，如果 P 经过顶点 y ， $\text{dist}(s, b(y))$ 最多为 P 的长度。

证明。 $\text{dist}(s, y)$ 最多为 P 从 s 到 y 的子路径长度，根据 $b(y)$ 的定义， $\text{dist}(y, b(y))$ 最多为 P 从 y 到 u 的子路径长度，将两条子路径串联在一起， $\text{dist}(s, b(y)) \leq \text{dist}(s, y) + \text{dist}(y, b(y))$ 最多为 P 的长度。

□

引理5表明，对于任意顶点 $u \in R$ ，从 s 到 u 的最短路径只包含顶点 y 且 $\text{dist}(s, b(y)) \leq \text{dist}(s, u)$ 。这就是为什么 R 的顶点按 $\text{dist}(s, \cdot)$ 递增的顺序出现的直观原因。然而，从 s 到某个顶点 $v \in \text{Bundle}(u)$ 的最短路径可能会经过某个 $\text{dist}(s, b(y)) \geq \text{dist}(s, u)$ 的顶点 y ，即 $b(y)$ 仍然没有从堆中弹出。但令人惊讶的是，根据引理6我们甚至可以在 $b(y)$ 迭代之前处理这种情况。

引理6。对于一个顶点 $v \in V \setminus R$ ，如果 s 到 v 的最短路径短于 $\text{dist}(s, b(v)) + \text{dist}(b(v), v)$ ，并且它经过一个顶点 y (非 v)使得 $\text{dist}(s, b(y)) \geq \text{dist}(s, b(v))$ ，那么在 y 到 v 的最短路径上有两个相邻的顶点 z_1, z_2 使得 $z_1 \in \text{Ball}(y) \cup \{y\}$ 和 $z_2 \in \text{Ball}(v) \cup \{v\}$ 。

证明。我们有 $\text{dist}(y, v) = \text{dist}(s, v) - \text{dist}(s, y)$ 和 $\text{dist}(s, v) < \text{dist}(s, b(v)) + \text{dist}(b(v), v)$ 。通过三角不等式， $\text{dist}(s, y) \geq \text{dist}(s, b(y)) - \text{dist}(y, b(y))$ ，以及通过 $\text{dist}(s, b(y)) \geq \text{dist}(s, b(v))$ ，

$$\text{dist}(y, v) < \text{dist}(b(v), v) + \text{dist}(y, b(y)) + \text{dist}(s, b(v)) - \text{dist}(s, b(y)) \leq \text{dist}(b(v), v) + \text{dist}(y, b(y))$$

设 z_1 是 y 到 v 满足 $\text{dist}(y, z_1) < \text{dist}(y, b(y))$ 的最短路径上的最后一个顶点，那么 $z_1 \in \text{Ball}(y)$ 。那么 z_2 将是 z_1 之后的下一个顶点，所以 $\text{dist}(y, z_2) \geq \text{dist}(y, b(y))$ ，并且 $\text{dist}(z_2, v) < \text{dist}(v, b(v))$ ，所以 $z_2 \in \text{Ball}(v)$ 。(如果 $\text{dist}(y, b(y)) = 0$ 则 $z_1 = y$ ，如果 $\text{dist}(y, v) < \text{dist}(y, b(y))$ 则 $z_2 = v$ 且 z_1 为 v 之前的顶点)

□

然后我们可以看到命题3和命题4在整个算法中迭代地成立:(形式证明将在3.3节给出)

- 当我们从堆中弹出源 s 时, $d(s) = 0$, 所有 $v \in \text{Bundle}(s)$ 的距离 $\text{dist}(s, v)$ 在Bundle构建步骤中可以找到, 并且可以在步骤1中放入 $d(v)$ 。
- 假设命题4对第一个弹出的 i 个顶点成立, 那么所有捆绑到弹出顶点的顶点的真实距离都被找到了。通过第2步和第3步, 我们可以看到对于所有未弹出的 $u \in R$, 如果 s 到 u 的最短路径不经过堆中捆绑到其他未弹出顶点的顶点, 则可以找到距离 $\text{dist}(s, u)$ 。如果下一个弹出的顶点 u' 不满足这个条件, 则设 y 是 s 到 u' 的最短路径上的第一个顶点, 该最短路径被捆绑到 u' 以外的未弹出的顶点 $b(y)$, 因此可以找到 $\text{dist}(s, b(y))$ 。根据引理5, $\text{dist}(s, b(y)) \leq \text{dist}(s, u')$, 所以如果 $d(u') > \text{dist}(s, u')$ $b(y)$ 将是下一个弹出的顶点。因此, 下一个弹出的顶点 u' 的 $\text{dist}(s, u')$ 在它被弹出之前就被找到了。
- If一个未弹出的顶点 $u' \in R$ 在弹出顶点 u 的迭代中被更新, 到 u' 的新路径必须经过 $\text{Bundle}(u)$ 中的一个顶点。根据引理5, $d(u')$ 不能更新为小于 $\text{dist}(s, u)$, 所以未弹出的顶点必须比任何弹出的顶点具有更长或相等的距离。
- 因此, 当弹出一个顶点 $u \in R$ 时, 它的距离 $\text{dist}(s, u)$ 已经被发现。对于所有顶点 $v \in \text{Bundle}(u)$, 如果 $\text{dist}(s, v)$ 不是由 $d(u) + \text{dist}(u, v)$ 直接得到的, 即 $\text{dist}(s, v) < \text{dist}(s, u) + \text{dist}(u, v)$, 则设 x 为 s 到 v 最短路径上的最后一个顶点, 使得 $b(x)$ 在 u 之前出现, y 为 x 之后的下一个顶点。我们可以看到 $\text{dist}(s, b(y)) \geq \text{dist}(s, u)$, 因此根据引理6, 我们得到 z_1 和 z_2 。那么从命题4可以在 $b(x)$ 迭代的第1步中找到 $\text{dist}(s, x)$, 那么在该迭代的第2步中可以找到 $\text{dist}(s, z_1)$ 。在 u 的这次迭代中, $\text{dist}(s, v)$ 可以在步骤1中设置为 $\text{dist}(s, z_1) + w_{z_1, z_2} + \text{dist}(z_2, v)$, 那么命题4在这次迭代后仍然成立。

3.3 正确性证明

我们基于算法1的伪代码给出了一个形式化证明。定义 $u_i \in R$ 为算法1中while-loop第 i 次迭代提取的顶点。我们下面的关键引理显示了算法的主要属性, 因此无论 R 如何选择, 束Dijkstra都是正确的。

引理7。对于束Dijkstra(算法1)中任意 $i \geq 1$, 以下属性成立:

1. 当 u_i 从堆中提取时, $d(u_i) = \text{dist}(s, u_i)$ 保持。
2. 在while循环的第 i 次迭代后, 对于所有 $u \in R \setminus \{u_j\}_{j \leq i}$, $d(u) \geq d(u_i)$ 。
3. while循环第 i 次迭代步骤1后, 对于所有 $v \in \text{Bundle}(u_i)$, $d(v) = \text{dist}(s, v)$ 。

证明。我们将在 i 上用归纳法证明这个引理。

7. 这个引理对于 $i = 1$ 成立, 因为 $d(s) = 0$, $d(v) = \text{dist}(s, v)$ 对于所有 $v \in \text{Bundle}(s)$ 在Line之后假设这个引理对每一个 $i \leq t-1$ 都成立, 考虑 $i = t$ 的情况。

1. 考虑一条从 s 到 u_t 的最短路径 P 。设 x 是 P 上的最后一个顶点, 使得 $x \in \text{Bundle}(u_j)$ 对于某些 $j < t$, y 是 x 之后的下一个顶点, 因此对于某些 $u \in R \setminus \{u_\ell\}_{\ell < t}$, $y \in \text{Bundle}(u)$ 。根据归纳假设 $d(x) = \text{dist}(s, x)$ 在第 j 次迭代的步骤1后的性质3。之后, 算法更新 $d(y)$, 并在第15行进一步更新 $d(u)$, 因为 $y \in N(x)$ 。

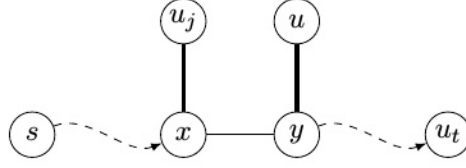


图1:从s到 u_t 的最短路径示意图。

因此在 $(t-1)$ -th迭代后 $d(y) = \text{dist}(s, x) + \text{dist}(x, y) = \text{dist}(s, y)$ 和 $d(u) \leq \text{dist}(s, y) + \text{dist}(y, u)$ 。进一步:

$$\begin{aligned}
 d(u) &\leq \text{dist}(s, y) + \text{dist}(y, u) \\
 &\leq \text{dist}(s, y) + \text{dist}(y, u_t) && (b(y) = u) \\
 &= \text{dist}(s, u_t) && (y \text{ on shortest path}) \\
 &\leq d(u_t). && (\text{Observation 2})
 \end{aligned}$$

另一方面, 算法立即从斐波那契堆 H 中提取出

$(t-1)$ 次迭代, 因此 $d(u_t) \leq d(u)$ 。所以上面所有的不等式都应该是方程, 因此

$d(u_t) = \text{dist}(s, u_t)$ 。

2. 当执行第 t 次迭代的第5行时, $d(u) \geq d(u_t)$ 对每个 $u \in R \setminus \{u_j\}_{j \leq t}$ 自 H 以来保持

是一个斐波那契堆。假设 $d(u) < d(u_t)$ 对于某些 $u \in R \setminus \{u_j\}_{j \leq t}$, 在第 t 次迭代后, 的

$d(u)$ 的进一步更新必须从 $d(x)$ 开始, 针对某些 $x \in \text{Bundle}(u_t)$ 。对于最后这样的更新, 在这条从 s 到 x 再到 u 的路径上应用引理5, 我们有:

$$\begin{aligned}
 d(u) &\geq \text{dist}(s, u_t) && (\text{Lemma 5}) \\
 &= d(u_t), && (\text{Property 1})
 \end{aligned}$$

导致矛盾。

3. 我们要证明 $d(v) = \text{dist}(s, v)$ 对所有 v 都成立 $\in \text{Bundle}(u_t)$ 。假设在步骤1之后存在一个顶点 $v \in \text{Bundle}(u_t)$, 使得 $d(v) > \text{dist}(s, v)$ 。设 x 是 P 上的最后一个顶点, 对于某个 $j < t$, $x \in \text{Bundle}(u_j)$, y 是 P 上 x 之后的下一个顶点, 因此对于某个 $u \in R$, $y \in \text{Bundle}(u) \setminus \{u_t\}_{t \leq t}$ 。根据归纳假设的性质3, 在第 j 次迭代的步骤1之后, $d(x) = \text{dist}(s, x)$ 。与上文相同, 我们可以证明, 在 t -th迭代之前, $d(y) = \text{dist}(s, x) + \text{dist}(x, y) = \text{dist}(s, y)$ 且 $d(u) \leq \text{dist}(s, y) + \text{dist}(y, u)$ (其中 $u = b(y)$)。我们有:

$$\begin{aligned}
 \text{dist}(s, y) &\geq d(u) - \text{dist}(y, u). \\
 \text{dist}(s, v) &< d(v) && (\text{Assumption}) \\
 &\leq d(u_t) + \text{dist}(u_t, v). && (d(v) \text{ updated in Line 7})
 \end{aligned}$$

另一方面, $d(u) \geq d(u_t)$ 经过性质2的第 t 次迭代后。由于 $d(u_t)$ 不会改变(性质1和观察2), 而且 $d(u)$ 只能在第 t 次迭代时减少, 所以 $d(u) \geq d(u_t)$ 在整个第 t 次迭代中都成立。因此:

$$\text{dist}(y, v) = \text{dist}(s, v) - \text{dist}(s, y) < \text{dist}(u_t, v) + \text{dist}(y, u), \quad (1)$$

而方程成立, 因为 y 位于 s 到 v 的最短路径上。

因此有两种可能的情况:

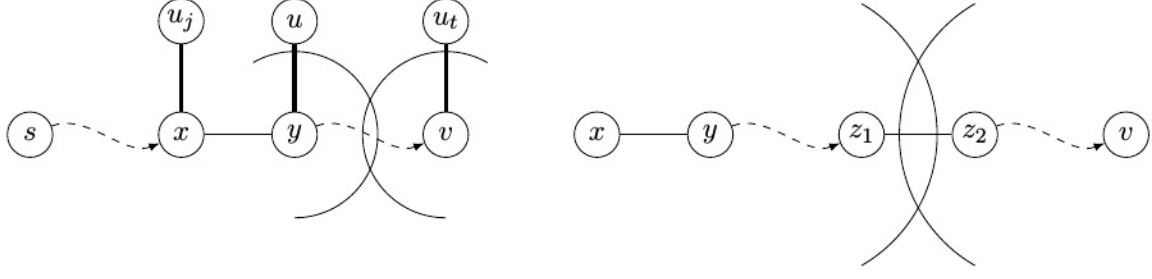


图2:左:如果 $d(v) > \text{dist}(s, v)$ 从s到v的最短路径图解, 右:如果 $\text{dist}(y, v) \geq \text{dist}(u_t, v)$ 仔细观察路径x到v。

- $\text{dist}(y, v) < \text{dist}(u_t, v)$ 。

在这种情况下, $y \in \text{Ball}(v)$, 因此我们可以在第9行将 $d(v)$ 更新为 $\text{dist}(s, y) + \text{dist}(y, v)$, 与 $d(v) > \text{dist}(s, v)$ 相反。

- $\text{dist}(y, v) \geq \text{dist}(u_t, v)$ 。

首先, 由不等式(1), $\text{dist}(y, u) > \text{dist}(y, v) - \text{dist}(u_t, v) \geq 0$ 。设 z_1 为路径P上 $\text{dist}(y, z_1) < \text{dist}(y, u)$, 则有 $z_1 \in \text{Ball}(y)$ 。设 z_2 是路径上的下一个顶点, 则 $\text{dist}(y, z_2) \geq \text{dist}(y, u)$, 因此 $\text{dist}(z_2, v) = \text{dist}(y, v) - \text{dist}(y, z_2) \leq \text{dist}(y, v) - \text{dist}(y, u) < \text{dist}(u_t, v)$, 即 $z_2 \in \text{Ball}(v)$ 。(如果 z_2 不存在, 则 $z_1 = v$)根据归纳假设的性质3, $d(x)$ 在第j次迭代的步骤1之后 $= \text{dist}(s, x)$, 因此 $d(z_1)$ 在第j次迭代的第17行更新为 $\text{dist}(s, z_1)$ 。因此, $d(v)$ 在第t次迭代的第12行更新为 $\text{dist}(s, v)$ (因为 $j < t$), 与假设相矛盾。

因此, 在第t次迭代的步骤1之后, 对于所有 $v \in \text{Bundle}(u_t)$, $d(v) = \text{dist}(s, v)$ 。

□

备注2。Pettie和Ramachandran[25]证明, 在比较-加法模型中, 无向图上任何基于层次结构的SSSP算法至少需要 $\Omega(m + \min\{n \log \log r, n \log n\})$ 时间, 其中 r 为边权重的最大值与最小值之比。当 r 呈指数级增大时, 这个界限就变成了 $\Omega(m + n \log n)$ 。在这里, 基于层次结构的算法被定义为生成一个满足层次性质的排列 $\pi_s: \text{dist}(s, v) \geq \text{dist}(s, u) + \text{sep}(u, v) \Rightarrow \pi_s(u) < \pi_s(v)$, 其中 $\text{sep}(u, v)$ 是 u 和 v 之间的MST路径上最长的边。排列 π_s , 尽管没有被定义为, 通常对于[25]中讨论的算法来说, 是算法访问顶点的顺序。然而, 这是一个最坏情况下的下界, 我们的算法是随机的。还订单, 我们的算法访问顶点不遵循等级属性: 想到两个顶点 x 和 y 都是通过边连接到 u (x, u), (y, u)这两个重量1, x, y 都是捆绑你。有可能 $9(x, y) = 1$ 和 $\text{dist}(\text{年代}, y) = \text{dist}(\text{年代}, x) + 2$ 但我们不限制订单我们访问 x 和 y , 它是可能的我们之前访问 y x 。这就解释了为什么我们的算法可以打破这个 $\Omega(m + n \log n)$ 下界[25]。

4 改进的束结构

在本节中, 我们提出了一种改进的bundle构造, 其运行时间为 $O(m \sqrt{\log n} \cdot \log \log n)$, 且具有高概率。在3.3节中, 我们证明了Bundle Dijkstra的正确性不依赖于 R 的选择, 只要 $b(\cdot)$, $\text{Ball}(\cdot)$ 和 $\text{Bundle}(\cdot)$ 被正确计算

对于 r ，构建bundle的运行时间为 $O(\sum_{v \in V \setminus R} |\text{Ball}(v)| + |R| \log n)$ ， $P_v \in V \setminus R$ $|S_v| \log |S_v|$ ， Bundle

自然， $|S_v|$ 是每个顶点 $v \in V$ 服从几何分布的随机变量，并且它们不是独立的，因为一个顶点 $x \in V$ 可能出现在几个集合中。但是，对于一个子集 $W \subseteq V$ ，如果任何一个顶点在 $\{S_v\}_{v \in W}$ 中最多出现一次，则对应的随机变量 $\{|S_v|\}_{v \in W}$ 是独立的。由引理9可知，如果每个随机变量都依赖于少数其他变量，那么它们的和就会以指数小概率偏离期望。因此，我们手动包含所有那些 $|S_v| \geq k \log k$ 到 R 的顶点。这样，对于 $V \setminus R$ 中的每个顶点，它的随机变量只依赖于有限数量的其他顶点，我们可以高概率地约束它们的和。下面我们介绍如何生成 R 并计算 $\{b(v)\}_{v \in V \setminus R}$ ，以及 $\{\text{Ball}(v)\}_{v \in V \setminus R}$ ， $\{\text{Bundle}(u)\}_{u \in R}$ 和 $\text{dist}(v, u)$ 对于 $u \in \text{Ball}(v) \cup \{b(v)\}$ 。伪代码在算法2中给出。我们还是像第3节那样设置参数 $k = \log n \log \log n$ 。



I改进了束结构。

- 以概率 $1/k$ 对每个顶点 $v \in V \setminus \{s\}$ 进行采样，形成集合 R_1 ，并将 s 添加到 R_1 中；
- For每个 $v \in V \setminus R_1$ ，从 v 开始运行Dijkstra算法，直到我们在 R_1 中提取了一个顶点或已经弹出了 $k \log k$ 个顶点。
- 在前一种情况下，将提取的顶点按它们出现的顺序表示为列表 $V_{\text{extract}}(v)$ 。注意 $V_{\text{extract}}^{(v)}$ 类似于第3节的 S_v 。

在后一种情况下，在 R_2 中添加 v

- $\text{Set } R = R_1 \cup R_2$ ，对于 $v \in V \setminus R$ ，设 $V_{\text{extract}}^{(v)}$ 中位于 R 中的第一个顶点为 $b(v)$ ；
- With上面的结果，计算 $u \in R$ 的 $\text{Bundle}(u)$ ， $v \in V \setminus R$ 的 $\text{Ball}(v)$ ，并记录 $u \in \text{Ball}(v) \cup \{b(v)\}$ 的 $\text{dist}(v, u)$ 。这一步的时间是线性的。

这种改进的束结构的正确性遵循Dijkstra算法[8]。我们只需要分析 $|R|$ ， $\sum_{v \in V \setminus R} |\text{Ball}(v)|$ 及其运行时间。这种改进的束结构的性能在引理8pbelow中得到表征。根据引理8，束的构造需要 $O(mk \log k)$ 时间，束Dijkstra需要 $O(\sum_{v \in V \setminus R} |\text{Ball}(v)| + |R| \log n) = O(mk + m \log n/k)$ ，概率为 $1 - e^{-\Omega(n^{1-o(1)})}$ 。因此，我们的算法的总运行时间为 $O(mk \log k + m \log n/k) = O(m \log n \cdot \log \log n)$ w.h.p. 引理8的证明是基于引理9。

引理8。通过运行算法2，概率为 $1 - e^{-\Omega(n^{1-o(1)})}$ ，得到以下属性：

- (a) $P|R| = O(mk)$ 。 (b) $\sum_{v \in V \setminus R} |\text{Ball}(v)| = O(mk)$ 。 (c) 算法2的运行时间为 $\Theta(mk \log k)$ 。

证明。首先， $V \setminus \{s\}$ 的每个顶点以概率 $1/k$ 独立地插入到 R_1 中，因此通过切尔诺夫界，概率为 $1 - O(e^{-m/k}) = 1 - e^{-\Omega(n^{1-o(1)})}$ ， $|R_1| = \Theta(m/k)$ ，同时 $m' := |V \setminus R_1| = \Theta(m)$ 。对于每个顶点 $v \in V \setminus R_1$ ，定义 $X_v = I[v \in R_2]$ 和 $Y_v = V_{\text{extract}}^{(v)}$ ，则 X_v 为伯努利随机变量， $X_v \in [0, 1]$ ，概率为 $1/k$ ， $E[X_v] = (1/k)$ ， $k \log k = \Theta(k \log k)$ 。 Y_v 是

Algorithm 2: BUNDLECONSTRUCTION(G, s, k)

Input : A graph $G = (V, E, w)$, the source vertex $s \in V$ and parameter k
Output: All $R, b(\cdot), \text{Ball}(\cdot), \text{Bundle}(\cdot)$ as described above
 Initialize $R_1 \leftarrow \{s\}$, and insert each $v \in V \setminus \{s\}$ to R_1 independently with probability $\frac{1}{k}$;
 Initialize $R_2 \leftarrow \emptyset$;
foreach $v \in V \setminus R_1$ **do** // Truncated Dijkstra
 Initialize Fibonacci heap $H^{(v)}$ with vertex v and its key $d^{(v)}(v) \leftarrow 0$;
 Initialize an ordered list $V_{\text{extract}}^{(v)} \leftarrow ()$;
 while $H^{(v)}$ is not empty **do**
 $u \leftarrow H.\text{EXTRACTMIN}()$;
 $V_{\text{extract}}^{(v)}.\text{APPEND}(u)$;
 if $u \in R_1$ **then** quit the **while-loop**;
 else if $|V_{\text{extract}}^{(v)}| > k \log k$ **then** set $R_2 \leftarrow R_2 \cup \{v\}$ and quit the **while-loop**;
 else
 foreach $x \in N(u)$ **do**
 if $x \notin H^{(v)}$ and $x \notin V_{\text{extract}}^{(v)}$ **then** $H^{(v)}.\text{INSERT}(x, d^{(v)}(u) + w_{ux})$;
 else if $d^{(v)}(x) > d^{(v)}(u) + w_{ux}$ **then** $H.\text{DECREASEKEY}(x, d^{(v)}(u) + w_{ux})$;
 $R \leftarrow R_1 \cup R_2$;
foreach $v \in V \setminus R$ **do**
 $b(v) \leftarrow$ the first vertex in the ordered list $V_{\text{extract}}^{(v)}$ that lies in R ;
 Compute $\{\text{Bundle}(u)\}_{u \in R}, \{\text{Ball}(v)\}_{v \in V \setminus R}$ and record $\text{dist}(v, u)$ for $u \in \text{Ball}(v) \cup \{b(v)\}$;

几何随机变量除了其值在 $k \log k$ 处截断, $Y_v \in [0, k \log k]$ 概率为 1 且 $E[Y_v] = k(1 - (1 - \frac{1}{k})^{k \log k}) = \Theta(k)$ 。

对于每个顶点 $v \in V \setminus R_1$, 表示 $V_{\text{full}}^{(v)}$ 为在 Dijkstra 算法中提取的前 $k \log k$ 个顶点, 如果它没有截断。它们是由 G 的结构决定的, 因此在 V_{full} 中不存在随机-(v) 性。 X_v 和 Y_v 的值取决于 $V_{\text{full}}^{(v)}$ 中的顶点是否插入到 R_1 中。因此, 如果 $V_{\text{full}}^{(v_1)}, V_{\text{full}}^{(v_2)}, \dots, V_{\text{full}}^{(v_j)}$ 是不相交的, 则 $X_{v_1}, X_{v_2}, \dots, X_{v_j}$ 是独立的, 同样, $Y_{v_1}, Y_{v_2}, \dots, Y_{v_j}$ 也是独立的。

对于每个顶点 $w \in V_{\text{full}}^{(v)}$, 因为 w 是由 v 在 Dijkstra 算法的 $k \log k$ 步内找到的, 所以从 v 到 w 的路径必须不超过 $k \log k$ 条边, 所以根据常次性质, 最多有 $3 \cdot (1 + 2 + \dots + 2k \log k - 1) \leq 3 \cdot 2k \log k$ 个不同的 u , 使得 $w \in V_{\text{full}}^{(u)}$ 。因此, 对于每一个 v , 最多有 $3k \log k \cdot 2k \log k = O(n^{o(1)})$ 个不同的 $u \in V \setminus R_1$ 使得 $V_{\text{full}}^{(v)} \cap V_{\text{full}}^{(u)} \neq \emptyset$ 。

为了应用引理 9, 对于每个 $v \in R_1$, 也定义 X_v, Y_v 和 $V_{\text{full}}^{(v)}$ in, 就像在算法 2 的循环中执行 v 一样。

现在, 我们对 $\{X_v\}_{v \in V}$ 和 $\{Y_v\}_{v \in V}$ 应用引理 9。对于 $\{X_v\}_{v \in V}$, S 是 V , $|V| = m$, $\mu = \Theta(k^{\frac{1}{2}})$, $b = 1$, $T = O(n^{o(1)})$, $\{W_v\}_{v \in V}$ 是 $\{V_{\text{full}}^{(v)}\}_{v \in V}$, 我们可以验证 $8Tb\mu^{-1} = O(n^{o(1)})^{(v)}$ 且 $8b^3T/\mu^3 = O(n^{o(1)})$, 因此至少有 $1 - e^{-\Omega(m/n^{o(1)})}$ 的概率, $\mu \leq X_w w^{o(1)} P(m/k)$, 而对于 $\{Y_v\}_{v \in V}$, S 是 V , $\mu = \Theta(k)$, $b = k \log k$, $T = O(n^{o(1)})$, $\{W_v\}_{v \in V}$ 也为 (v)

由 $|S| \geq Pqt = 1 - \frac{3|Z_t|}{q} \geq \frac{1}{2}$ 得出 $q \leq |S|/p = 4Tb/\mu$ 。因此，概率至少为 $1 - 8Tb\mu^{-1} e^{-\mu 3|S|_{8bT}}$ ，认为 $P_{v \in S} Z_v = \Theta(|S|\mu)$ 。□

5 讨论

我们感谢一位匿名审稿人提出常数度不是这个算法的必要条件，因此我们可以在 $m = \omega(n)$ 和 $m = o(n \log n)$ 的情况下得到时间复杂度的改进，我们没有制作3次图，而是用类似的方法将 $> m/n$ 的顶点分割为 $\leq m/n$ 的顶点，这样顶点的数量仍然是 $o(n)$ 。然后，在每一步中：

- Inbundle构造时，对每个顶点 v 进行Dijkstra搜索的时间将变成 $O(|S_v| \cdot m_n + |S_v| \log(|S_v| \cdot mn))$ ，因为堆的大小最多为 $|S| \cdot m/n$ ，所以总共 $O(mk + nk \log(mk/n))$ 。

- TheBundle Dijkstra的时间将变成 $O(nk \log n + mk)$ ，因为步骤1中每个 v 的顶点数 z_2 是 $O(mn / |\text{Ball}(v)|)$ ，步骤2中每个 y 的顶点数 z_1 是 $O(|\text{Ball}(y)|)$ ，但每个顶点在步骤2中出现的次数是 $O(m/n)$ 次。

- 当 $m/n = o(\log n)$ 时，可以检查第4节中的独立性分析

可以，因为不同 $u \in V \setminus R_1$ 每个 V 有 $V_{\text{full}} \cap V_{\text{full}}^{(v)(u)} \neq \emptyset$ 的个数仍然是 $O(n o(1))$ 。

因此，qthis算法的时间复杂度为 $O(nk \log n + mk + nk \log(mk/n))$ 。当 $m < n \log \log n$ 时， k 仍然等于 $\log n$ ，时间界限为 $O(n \sqrt{\log n \log \log n})$ ，当 $n \log \log n \leq m < n \log n$ 时，设 $k = m \log n$ ，时间界限将为 $O(\sqrt{mn \log n})$ 。

参考文献

- [1] D. Aingworth, C. Chekuri, and R. Motwani. Fast estimation of diameter and shortest paths (without matrix multiplication). In Proceedings of the Seventh Annual ACM-SIAM Symposium on Discrete Algorithms, SODA '96, page 547–553, USA, 1996. Society for Industrial and Applied Mathematics. ISBN 0898713668.
- [2] Aaron Bernstein, Danupon Nanongkai, and Christian Wulff-Nilsen. Negative-weight single-source shortest paths in near-linear time. In 2022 IEEE 63rd Annual Symposium on Foundations of Computer Science (FOCS), pages 600–611, 2022. doi: 10.1109/FOCS54457.2022.00063.
- [3] Timothy M. Chan. All-pairs shortest paths with real weights in $O(n^3 / \log n)$ time. Algorithmica, 50(2):236–243, 2008. doi: 10.1007/s00453-007-9062-1. URL <https://doi.org/10.1007/s00453-007-9062-1>.
- [4] Bernard Chazelle. A minimum spanning tree algorithm with inverse-ackermann type complexity. J. ACM, 47(6):1028–1047, nov 2000. ISSN 0004-5411. doi: 10.1145/355541.355562. URL <https://doi.org/10.1145/355541.355562>.
- [5] Shiri Chechik, Haim Kaplan, Mikkel Thorup, Or Zamir, and Uri Zwick. Bottle-neck paths and trees and deterministic graphical games. In Nicolas Ollinger and Heribert Vollmer, editors, STACS, volume 47 of LIPIcs, pages 27:1–27:13. Schloss

<http://dblp.uni-trier.de/db/conf/stacs/stacs2016.html#ChechikKTZZ16>.

- [6] Li Chen, Rasmus Kyng, Yang P. Liu, Richard Peng, Maximilian Probst Gutenberg, and Sushant Sachdeva. Maximum flow and minimum-cost flow in almost-linear time. In 2022 IEEE 63rd Annual Symposium on Foundations of Computer Science (FOCS), pages 612–623, 2022. doi: 10.1109/FOCS54457.2022.00064.
- [7] Andrew Chi chih Yao. An $O(|E| \log \log |V|)$ algorithm for finding minimum spanning trees. Information Processing Letters, 4(1):21–23, 1975. ISSN 0020-0190. doi: [https://doi.org/10.1016/0020-0190\(75\)90056-3](https://doi.org/10.1016/0020-0190(75)90056-3). URL <https://www.sciencedirect.com/science/article/pii/0020019075900563>.
- [8] E. W. Dijkstra. A note on two problems in connexion with graphs. Numerische Mathematik, 1:269–271, 1959.
- [9] Włodzimierz Dobosiewicz. A more efficient algorithm for the min-plus multiplication. International Journal of Computer Mathematics, 32(1-2):49–60, 1990. doi: 10.1080/00207169008803814. URL <https://doi.org/10.1080/00207169008803814>.
- [10] James R. Driscoll, Harold N. Gabow, Ruth Shairman, and Robert E. Tarjan. Relaxed heaps: An alternative to fibonacci heaps with applications to parallel computation. Commun. ACM, 31(11):1343–1354, nov 1988. ISSN 0001-0782. doi: 10.1145/50087.50096. URL <https://doi.org/10.1145/50087.50096>.
- [11] Ran Duan, Kaifeng Lyu, Hongxun Wu, and Yuanhang Xie. Single-source bottleneck path algorithm faster than sorting for sparse graphs. CoRR, abs/1808.10658, 2018. URL <http://arxiv.org/abs/1808.10658>.
- [12] Robert W. Floyd. Algorithm 97: Shortest path. Communications of the ACM, 5:345, 1962.
- [13] Greg N. Frederickson. Data structures for on-line updating of minimum spanning trees. In Proceedings of the Fifteenth Annual ACM Symposium on Theory of Computing, STOC ’83, page 252–257, New York, NY, USA, 1983. Association for Computing Machinery. ISBN 0897910990. doi: 10.1145/800061.808754. URL <https://doi.org/10.1145/800061.808754>.
- [14] M. L. Fredman and R. E. Tarjan. Fibonacci heaps and their uses in improved network optimization algorithms. Journal of the ACM, 34(3):596–615, 1987.
- [15] Michael L. Fredman. New bounds on the complexity of the shortest path problem. SIAM Journal on Computing, 5(1):83–89, 1976. doi: 10.1137/0205006. URL <https://doi.org/10.1137/0205006>.
- [16] Michael L. Fredman and Dan E. Willard. Surpassing the information theoretic bound with fusion trees. Journal of Computer and System Sciences, 47(3):424–436, 1993. ISSN 0022-0000. doi: [https://doi.org/10.1016/0022-0000\(93\)90040-4](https://doi.org/10.1016/0022-0000(93)90040-4). URL <https://www.sciencedirect.com/science/article/pii/0022000093900404>.
- [17] Michael L. Fredman and Dan E. Willard. Trans-dichotomous algorithms for minimum spanning trees and shortest paths. Journal of Computer and System Sciences, 48(3):533–551, 1994. ISSN 0022-0000. doi: [https://doi.org/10.1016/S0022-0000\(05\)80064-9](https://doi.org/10.1016/S0022-0000(05)80064-9). URL <https://www.sciencedirect.com/science/article/pii/S0022000005800649>.

- [18] Harold N Gabow and Robert E Tarjan. Algorithms for two bottle-neck optimization problems. *Journal of Algorithms*, 9(3):411–417, 1988. ISSN 0196-6774. doi: [https://doi.org/10.1016/0196-6774\(88\)90031-4](https://doi.org/10.1016/0196-6774(88)90031-4). URL <https://www.sciencedirect.com/science/article/pii/0196677488900314>.
- [19] Torben Hagerup. Improved shortest paths on the word ram. In Ugo Montanari, Jos´e D. P. Rolim, and Emo Welzl, editors, *Automata, Languages and Programming*, pages 61–72, Berlin, Heidelberg, 2000. Springer Berlin Heidelberg. ISBN 978-3-540-45022-1.
- [20] Yijie Han and Tadao Takaoka. An $O(n^3 \log \log n / \log^2 n)$ time algorithm for all pairs shortest paths. In *Proceedings of the 13th Scandinavian Conference on Algorithm Theory, SWAT’ 12*, page 131–141, Berlin, Heidelberg, 2012. Springer-Verlag. ISBN 9783642311543. doi: 10.1007/978-3-642-31155-0_12. URL https://doi.org/10.1007/978-3-642-31155-0_12.
- [21] Svante Janson. Large deviations for sums of partly dependent random variables. *Random Struct. Algorithms*, 24(3):234–248, may 2004. ISSN 1042-9832.
- [22] David R. Karger, Philip N. Klein, and Robert E. Tarjan. A randomized linear-time algorithm to find minimum spanning trees. *J. ACM*, 42(2):321–328, mar 1995. ISSN 0004-5411. doi: 10.1145/201019.201022. URL <https://doi.org/10.1145/201019.201022>.
- [23] Seth Pettie. A new approach to all-pairs shortest paths on real-weighted graphs. *Theoretical Computer Science*, 312(1):47–74, 2004. ISSN 0304-3975. doi: [https://doi.org/10.1016/S0304-3975\(03\)00402-X](https://doi.org/10.1016/S0304-3975(03)00402-X). URL <https://www.sciencedirect.com/science/article/pii/S030439750300402X>. *Automata, Languages and Programming*.
- [24] Seth Pettie and Vijaya Ramachandran. An optimal minimum spanning tree algorithm. *J. ACM*, 49(1):16–34, jan 2002. ISSN 0004-5411. doi: 10.1145/505241.505243. URL <https://doi.org/10.1145/505241.505243>.
- [25] Seth Pettie and Vijaya Ramachandran. A shortest path algorithm for real-weighted undirected graphs. *SIAM Journal on Computing*, 34(6):1398–1431, 2005. doi: 10.1137/S0097539702419650. URL <https://doi.org/10.1137/S0097539702419650>.
- [26] Rajeev Raman. Priority queues: Small, monotone and trans-dichotomous. In *Proceedings of the Fourth Annual European Symposium on Algorithms, ESA ’ 96*, page 121–137, Berlin, Heidelberg, 1996. Springer-Verlag. ISBN 3540616802.
- [27] Rajeev Raman. Recent results on the single-source shortest paths problem. *SIGACT News*, 28(2):81–87, jun 1997. ISSN 0163-5700. doi: 10.1145/261342.261352. URL <https://doi.org/10.1145/261342.261352>.
- [28] Mikkel Thorup. Undirected single-source shortest paths with positive integer weights in linear time. *J. ACM*, 46(3):362–394, may 1999. ISSN 0004-5411. doi: 10.1145/316542.316548. URL <https://doi.org/10.1145/316542.316548>.
- [29] Mikkel Thorup. On ram priority queues. *SIAM Journal on Computing*, 30(1):86–109, 2000. doi: 10.1137/S0097539795288246. URL <https://doi.org/10.1137/S0097539795288246>.
- [30] Mikkel Thorup. Floats, integers, and single source shortest paths. *J. Algorithms*, 35(2):189–201, may 2000. ISSN 0196-6774. doi: 10.1006/jagm.2000.1080. URL <https://doi.org/10.1006/jagm.2000.1080>.

- [31] Mikkel Thorup. Integer priority queues with decrease key in constant time and the single source shortest paths problem. *Journal of Computer and System Sciences*, 69(3): 330–353, 2004. ISSN 0022-0000. doi: <https://doi.org/10.1016/j.jcss.2004.04.003>. URL <https://www.sciencedirect.com/science/article/pii/S002200000400042X>. Special Is-sue on STOC 2003.
- [32] Stephen Warshall. A theorem on boolean matrices. *J. ACM*, 9(1):11–12, jan 1962. ISSN 0004-5411. doi: 10.1145/321105.321107. URL <https://doi.org/10.1145/321105.321107>.
- [33] Ryan Williams. Faster all-pairs shortest paths via circuit complexity. In *Proceedings of the Forty-Sixth Annual ACM Symposium on Theory of Computing, STOC ’14*, page 664–673, New York, NY, USA, 2014. Association for Computing Machinery. ISBN 9781450327107. doi: 10.1145/2591796.2591811. URL <https://doi.org/10.1145/2591796.2591811>.
- [34] Virginia Vassilevska Williams. Nondecreasing paths in a weighted graph or: How to optimally read a train schedule. *ACM Trans. Algorithms*, 6(4), sep 2010. ISSN 1549-6325. doi: 10.1145/1824777.1824790. URL <https://doi.org/10.1145/1824777.1824790>.
- [35] Uri Zwick. A slightly improved sub-cubic algorithm for the all pairs shortest paths problem with real edge lengths. In *Algorithms and Computation: 15th International Symposium, ISAAC 2004, Hong Kong, China, December 20-22, 2004. Proceedings*, page 921–932, Berlin, Heidelberg, 2004. Springer-Verlag. ISBN 978-3-540-24131-7. doi: 10.1007/978-3-540-30551-4_78. URL https://doi.org/10.1007/978-3-540-30551-4_78.

-